

افزایش دوام بتن در مقابل خوردگی اسیدی با استفاده از سنگدانه آهکی

سید محسن ساداتیان

۱-دانشجوی کارشناسی ارشد دانشگاه صنعت آب و برق

عبدالله رشیدی

استادیار و عضو هیأت علمی دانشگاه صنعت آب و برق

a_rashidi@pwut.ac.ir

فرشاد وزین رام

استادیار و عضو هیأت علمی دانشگاه صنعت آب و برق

Piet N.L. Lens

Professor of UNESCO-IHE Institute for Water Education, Westvest 7, 2611 AX Delft the Netherlands

چکیده

در این تحقیق اثر جایگزینی سنگدانه‌های معمول بتن با سنگدانه‌های آهکی بر دوام بتن در مقابل خوردگی اسیدی بررسی گردیده است. بدین منظور، نمونه‌های استوانه‌ای بتنی ساخته شده و در محلول اسید سولفوریک ۱ درصد قرار داده شدند. تغییرات وزن، ابعاد و مقاومت نمونه‌ها در فواصل مختلف زمانی سنجیده شد، و نتایج حاصل به همراه مشاهدات صورت پذیرفته بر روی نمونه‌ها و محلول خورنده مبنای قضاوت قرار گرفت. براساس آزمایش‌های صورت پذیرفته در طی ۱۴۵ روز مشاهده گردید که نمونه‌های ساخته شده با سنگدانه آهکی مقاومت بیشتری نسبت به محیط خورنده اسیدی دارند. با استفاده از شاخص‌های کاهش وزن، ابعاد و مقاومت، نمونه‌های آهکی بالغ بر ۵۰٪ بیهود دوام نسبت به شرایط خورنده اسیدی را نشان داده‌اند. لذا با توجه به دسترسی ارزان و سهل به سنگدانه‌های آهکی در جای‌جای کشور ایران، بررسی بیشتر درمورد استفاده از این سنگدانه‌ها برای بالا بردن دوام بتن معقول به نظر می‌رسد.

واژه‌های کلیدی: خوردگی، بتن، سنگدانه آهکی، سنگدانه سیلیسی، دوام

۱- مقدمه

صورتی که بتن، با عوامل طبیعی مانند جریان آب یا سایش‌های معمولی دچار فرسایش می‌شود.

۲- تحقیقات پیشین

تحقیقات متعددی جهت مقاوم نمودن بخش ضعیف بتن، یعنی خمیر قلیایی سیمان، در مقابل عوامل خورنده صورت پذیرفته است. در ابتدا توصیه به استفاده از سیمان‌های ضد سولفات و حتی استفاده از گوگرد به عنوان ماده چسباننده سنگدانه شده است. همچنین در تحقیقات متعددی سعی شده تا با استفاده از مواد افزودنی سیمانی (SCM) دوام خمیر سیمان نسبت به خوردگی افزایش یابد. مطالعات صورت پذیرفته در رابطه با استفاده از پودر سیلیس (J. Monteny, et al., 2003) و خاکستر بادی (T. Kazuyuk, K. Mitsunor, 1994) و همچنین مطالعات صورت گرفته بر روی سایر مواد مانند ترکیبات پلیمری (Willy Verstraete, 2002 و J. Monteny, 2001) همگی در جهت تغییر ماهیت خمیر سیمان و بهبود دوام آن صورت پذیرفته‌اند که در مواردی نتایج مثبت و در برخی موارد نتایجی متناقض حاصل گردیده است. بسیاری از راه‌های ارائه شده برای افزایش دوام سیمان مؤثر بوده‌اند. اما عواملی از قبیل دسترسی، قیمت تمام شده، تجهیزات و تکنولوژی مورد نیاز برای اجرا و همانند آن باعث گردیده است تا استفاده از این روش‌ها محدود گردد.

به دلیل مقاومت سنگدانه‌های سیلیسی بتن در مقابل ترکیبات خورنده، محققان تاکنون تنها سعی بر مقاوم‌سازی خمیر سیمانی بتن داشته‌اند. اما با مطالعه دقیق‌تر روند خوردگی بتن مشاهده گردید که، ناهمگونی جنس سنگدانه‌های سیلیسی و خمیر قلیایی سیمان در طی روند خوردگی باعث پدید آمدن ریز ترک‌هایی بین این مصالح و افت مقاومت بتن می‌گردد (Chang, et al., 2005). از طرفی در بتن‌های ساخته شده با سنگدانه سیلیسی ماده خورنده تنها به خمیر سیمانی که در حدود ۳۰٪ حجم بتن را تشکیل می‌دهد حمله می‌کند. با از بین رفتن خمیر سیمانی، سنگدانه‌های بتن به راحتی کنده شده و هیچ‌گونه مقاومتی نمی‌کنند. در کنار این مطالب، تئوری‌هایی وجود دارد که در آنها به ارتباط مستقیم طول عمر بتن در برابر خوردگی

بتن به عنوان یک مصالح نسبتاً ارزان قیمت که در محل قابل تهیه است، یکی از اساسی‌ترین مصالح مورد استفاده در ساخت سازه‌های عمرانی می‌باشد. اما دوام آن در برابر شرایط خورنده و علی‌الخصوص خوردگی اسیدی باعث محدودیت استفاده از آن در برخی پروژه‌ها گردیده است. بتن‌های به کار رفته در تولید لوله‌ها و تأسیسات انتقال و تصفیه آب و فاضلاب، دامداری‌ها و کشتارگاه‌ها، به صورت مستمر تحت خوردگی ناشی از اسید‌های حاصل از فعالیت‌های بیولوژیکی قرار دارند. همچنین بتن‌های موجود در مناطق صنعتی و شهری تحت ریزش باران‌ها اسیدی دچار حمله‌های اسیدی می‌گردد. در دهه‌های اخیر هزینه‌های ناشی از خرابی‌های به وجود آمده از این خوردگی‌ها متخصصین را به فکر افزایش دوام بتن در برابر خوردگی و کاهش هزینه‌های ناشی از آن انداخت. بر اساس برآوردهای صورت گرفته هزینه‌های خوردگی در کشورهای مختلف به طور متوسط بین ۱ تا ۵ درصد درآمد ناخالص ملی را شامل می‌شود.(اشتهرادیها، ۱۳۸۲).

در لوله‌های وحوضچه‌هایی شبکه آب و فاضلاب، دامداری‌ها و کشتارگاه‌ها که شرایط رشد میکروبی وجود دارد، فعالیت‌های بیولوژیکی منجر به تولید مواد خورنده و به ویژه اسید‌سولفوریک می‌گردد(N. De Belie, 2004). همچنین آلودگی هوا در مناطق پرتراکم صنعتی و شهری باعث می‌گردد تا در هنگام بارندگی، از ترکیب آلاینده‌های موجود در هوا و آب، بaran اسیدی حاصل گردد. اسید حاصل از فرآیندهای مذکور، به علت خاصیت قلیایی بتن به سرعت با آن وارد واکنش شده و آنرا دچار خوردگی می‌کند. واکنش اسید‌سولفوریک و هیدروکسید کلسیم در ابتدا منجر به تولید گچ می‌شود. در ادامه گچ تولید شده با هیدرات آلمینیات (C3A) واکنش داده و اترنگیت تشکیل می‌دهد. گچ و اترنگیت افزایش حجم ۷ و ۲٪ برابر نسبت به مواد ایجاد کننده خود دارند (J. Monteny, 2000). این افزایش حجم باعث بروز فشارهای داخلی می‌شود که در نهایت ایجاد ترک و از هم پاشیدگی بتن خورده شده را به همراه دارد. علاوه بر ایجاد این فشار داخلی، خود مواد حاصل از فرآیند خوردگی نسبت به مواد سازنده‌شان از مقاومت کمتری برخوردار بوده، لذا با پیشرفت روند خوردگی رفتارهای از مقاومت بتن کاسته شده. به

در این تحقیق منطبق با استاندارد ASTM-C267(2001) بوده است. بر اساس این استاندارد نمونه‌های استوانه‌ای بتنی با نسبت ارتفاع به قطر ۲:۱ تهیه شد که پس از قرارگیری در محیط خورنده در بازه‌های زمانی مختلف مورد سنجش قرار گرفتند. سنجش‌ها شامل اندازه‌گیری وزن، ابعاد، مقاومت، بررسی رنگ و شفافیت و مشخصات محلول و بررسی وضعیت ظاهری نمونه‌ها بوده است. به منظور سنجش تغییرات ابعاد و وزن، آزمایش‌ها بر روی نمونه‌های استوانه‌ای به قطر ۳/۶ و ارتفاع ۷/۲ سانتی‌متر صورت گرفته است. همچنین برای بررسی تأثیر خروجگی بر مقاومت فشاری، از نمونه‌های استوانه‌ای به قطر ۱۰ و ارتفاع ۲۰ سانتی‌متر استفاده شده است. در هر آزمایش از دو نوع نمونه ساخته شده با سنگدانه آهکی و سنگدانه سیلیسی استفاده شده است. طرح اختلاط، شرایط قالب‌ریزی و عمل آوری و درنهایت روند آزمایش و سنجش و ثبت داده‌ها برای نمونه‌های سیلیسی و آهکی کامل یکسان بوده است.

برای قالب‌ریزی نمونه‌های کوچک از قالب‌های دست‌سازی از جنس C.P.V. و برای نمونه‌های بزرگ از قالب‌های آماده فلزی به کار استفاده شد. سنگدانه آهکی مورد استفاده در آزمایش‌ها، از سنگ‌های شکسته کوهی معدن اسب چران بالا واقع در ۵ کیلومتری شهر دماوند و سنگدانه‌های سیلیسی نیز سنگدانه‌های معمول مورد استفاده در بتن شرق تهران بوده است. مطابق نتایج حاصل از آزمایش استاندارد J-612 Tex-612 مشخص گردید که میزان مواد غیر قابل حل در اسید برای ریزدانه‌های آهکی و سیلیسی به ترتیب برابر ۵ و ۷۹,۶ درصد بوده است.

سنگدانه‌های مورد استفاده، بر اساس استاندارد ASTM-C33-02 دانه‌بندی شده و درشتدانه‌های مصرفی برای نمونه‌های کوچک در دسته ۸۹ و برای نمونه‌های بزرگ در دسته ۶۷ استاندارد قرار گرفته‌اند. طرح اختلاط طراحی شده برای تمامی نمونه‌ها براساس بر روش ACI و با توجه به طرح اختلاط کارخانه‌های لوله‌سازی طراحی گردید. در جدول شماره ۱ طرح اختلاط نمونه‌های سیلیسی و آهکی کوچک و بزرگ ارائه شده است.

اسیدی و میزان قلیائیت بتن اشاره شده است. بر اساس این نظریه‌ها با بالا رفتن میزان قلیائیت بتن (براساس CaCO_3 ، میزان ماده برای خنثی‌سازی مواد خورنده اسیدی و در نتیجه طول عمر بتن افزایش می‌یابد (Tchobanoglous, 1981). در همین رابطه برای بالا بردن قلیائیت بتن استفاده از سنگدانه‌های قلیایی پیشنهاد شده است. مطابق این تئوری استفاده از سنگدانه‌های قلیایی می‌تواند دوام بتن در برابر خوردگی را افزایش دهد اما از جهت دیگر امکان آسیب‌پذیر شدن بتن نیز وجود دارد.

با توجه به موارد مذکور، در سال‌های اخیر تحقیقاتی با استفاده از سنگدانه‌های قلیایی و به ویژه آهکی جهت بالا بردن دوام بتن صورت پذیرفته است. به طور مثال در نمونه‌ای از این تحقیقات (Chang, et al., 2005) با جایگزینی سنگدانه‌های سیلیسی توسط سنگدانه‌های آهکی نتایجی حاصل گردیده که نشان می‌دهد، استفاده از سنگدانه آهکی در بتن می‌تواند همخوانی رفتار سنگدانه و سیمان در مقابل عامل خورنده را ایجاد کند. این امر باعث جلوگیری از ایجاد ناپیوستگی بین خمیر سیمان-سنگدانه و افت مقاومت ناشی از گسترش ریزتر که‌ها گردد. همچنین تحقیقات مربوطی در دانشگاه Ghent بلژیک صورت پذیرفته است (Belie et al., 2004) که در طی آن نتیجه گرفته شد، استفاده از سنگدانه آهکی دوام بتن در مقابل عوامل خورنده اسیدی را تا حدودی افزایش می‌دهد. علت این امر ایجاد ریز محیطی خنثی در نزدیکی سطح بتن ساخته شده با سنگ آهک می‌باشد که روند خوردگی را کاهش می‌دهد.

با توجه به سهولت تغییر نوع سنگدانه در روند تولید بتن و با توجه به ارزانی و در دسترس بودن مصالح آهکی در جای جای کشور ما و در بسیاری از نقاط دنیا، انجام تحقیقاتی در زمینه بالابردن دوام بتن با استفاده از این نوع سنگدانه، از جذابیت‌های فراوانی برخوردار است. لذا در این بررسی علمی سعی بر مقایسه دوام بتن‌های تولید شده با سنگدانه‌های سیلیسی معمول و بتن‌های تولید شده با سنگدانه‌های آهکی شده است.

۲- برنامه آزمایشگاهی

در این تحقیق آزمایش‌ها با بهره‌گیری از روش شتابدار شیمیایی صورت پذیرفته است و محیط خورنده با محلول اسید‌سولفوریک ادرصد شبیه‌سازی شده است. روش کلی آزمایش‌های انجام شده

جدول ۱- طرح اختلاط نمونه‌های بزرگ و کوچک سیلیسی و آهکی

عنوان	واحد	نمونه‌های کوچک	نمونه‌های بزرگ
نسبت آب به سیمان	-	۰,۵	۰,۴۵
آب	لیتر در مترمکعب	۲۳۰	۲۰۰
سیمان	کیلوگرم در مترمکعب	۴۶۰	۴۵۰
ماسه	کیلوگرم در مترمکعب	۱۱۶۰	۱۰۴۰
شن	کیلوگرم در مترمکعب	۸۳۰	۶۷۰

همچنین سازه‌های در معرض خوردگی می‌باشد. بازه مناسب اندازه سنگدانه‌ها و همچنین میزان نسبت آب به سیمان برای نمونه‌ها بر اساس بتن‌های معمول ساخت لوله و همچنین یک سری آزمایش اولیه جهت شناسایی زوایای ساخت قالب‌ریزی و عمل آوری بتن، انتخاب گردیده‌اند. در این سری آزمایش‌های اولیه نحوه قالب‌ریزی، نگهداری و سنجش نمونه‌ها بهینه گردید؛ به صورتی که در تست‌های اصلی کمترین عوامل خطأ در نتایج وارد گردید.

در مورد اندازه گیری‌های ابعاد، ۲ عدد برای ارتفاع استوانه بتن و ۴ عدد برای قطر استوانه قرائت شده است. ارتفاع و اقطار در دو جهت عمود بر هم و در دو سر نمونه‌ها اندازه گیری شده‌اند. میانگین این اعداد به صورت قطر و ارتفاع متوسط استوانه گزارش شده است. جهت اندازه گیری وزن نمونه‌ها نیز از ترازوی دیجیتال با دقیقاً ۱۰۰۰ گرم استفاده شده است. اندازه گیری وزن و ابعاد نمونه‌های کوچک در بازه‌های زمانی ۳۱، ۲۴، ۲۴، ۱۷، ۷، ۳، ۱۷، ۷، ۳۱، ۵۶، ۳۸، ۹۸، ۸۳، ۶۹، ۵۶ و ۱۴۵ روز پس از قراردادن در اسید صورت پذیرفته است.

برای آزمایش سنجش مقاومت فشاری نمونه‌ها که در آن از نمونه‌های بزرگ استفاده شده، در ابتدا و پس از ۴۲ روز عمل آوری بتن در آب، یک جفت از هر نوع نمونه بارگذاری گردیده‌اند. مقاومت ثبت شده به عنوان مقاومت اولیه نمونه‌ها در نظر گرفته شد. علت بارگذاری اولیه پس از ۴۲ روز دیرگیر بودن سیمان نوع پنچ می‌باشد. پس از آن و در انتهای دوره آزمایش نمونه‌هایی که به مدت ۶۸ روز، پس از ۲۸ روز عمل آوری، در معرض اسید قرار گرفته بودند مورد بارگذاری قرار گرفتند. همزمان با این نمونه‌ها نمونه‌هایی که در طول این مدت در آب نگهداری شده بودند نیز بارگذاری گردیدند. مقاومت تمام نمونه‌هایی به صورت حداقل بار تحمل شده توسط نمونه قبل از

همچنین سازه‌های در معرض خوردگی می‌باشد. بازه مناسب اندازه سنگدانه‌ها و همچنین میزان نسبت آب به سیمان برای نمونه‌ها بر اساس بتن‌های معمول ساخت لوله و همچنین یک سری آزمایش اولیه جهت شناسایی زوایای ساخت قالب‌ریزی و عمل آوری بتن، انتخاب گردیده‌اند. در این سری آزمایش‌های اولیه نحوه قالب‌ریزی، نگهداری و سنجش نمونه‌ها بهینه گردید؛ به صورتی که در تست‌های اصلی کمترین عوامل خطأ در نتایج وارد گردید.

بتن نمونه‌های بزرگ توسط دستگاه خلاطه آزمایشگاهی آماده شده است اما در مورد نمونه‌های کوچک مواد تشکیل دهنده به صورت دستی با هم مخلوط شده و پس از قالب‌ریزی مرحله‌ای و لرزاندن، تمامی نمونه‌ها به مدت ۲۴ ساعت در قالب و در رطوبت نسبی ۹۸٪ نگهداری شدند. پس از باز نمودن قالب‌ها، نمونه‌ها به مدت ۲۸ روز به صورت غوطه‌ور در آب، در دمای 23 ± 5 درجه سانتی گراد عمل آوری گردیدند تا به مقاومت اولیه برسند.

پس از گذشت زمان عمل آوری نمونه‌ها از آب خارج شده و پس از اندازه گیری اولیه از هر نوع نمونه ۶ استوانه در محلول اسید سولفوریک ۱٪ و در دمای 23 ± 5 درجه سانتی گراد نگهداری شدند. همزمان با نمونه‌های قرار گرفته در محلول اسیدی از هر نوع نمونه دو استوانه نیز به عنوان شاهد در آب قرار داده شده و به صورت هم‌مان و مشابه با نمونه‌های اصلی سنجیده شدند تا تأثیر خوردگی از تغییرات ناشی از گذشت زمان تفکیک گردد. نتایج نمونه‌های در اسید و نمونه‌های در آب به ترتیب به صورت میانگین گیری نتایج ۶ و ۲ نمونه استوانه‌ای ارائه گردیده است. مطابق استاندارد ASTM-C267-01 برای اندازه گیری وزن و ابعاد نمونه‌ها، آنها را ۳ مرتبه با آب شیر شسته و با دستمالی خشک می‌کنیم. پس از آن نمونه‌ها به مدت ۳۰

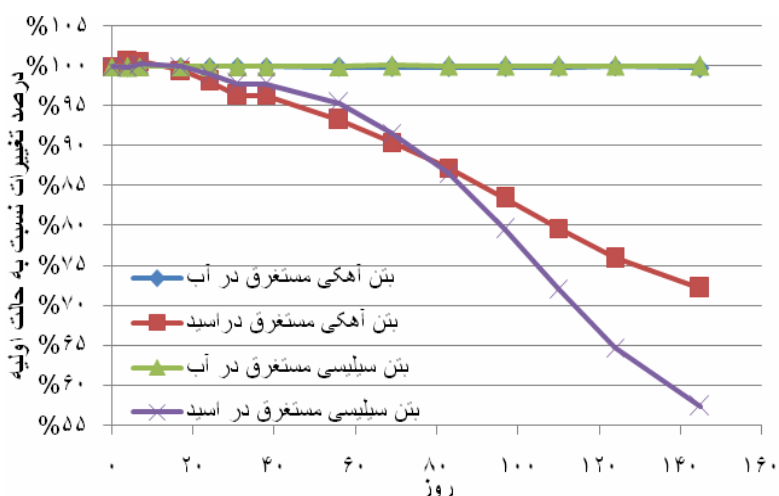
۳- ارائه نتایج، بحث و بررسی

جهت بررسی روند تغییرات عوامل سنجیده شده سنجش اولیه پارامتر مذکور برای هر نمونه قبل از قرار گیری در محیط خورنده و پس از عمل آوری، ۱۰۰ درصد فرض شده و سنجش‌های بعدی همان نمونه در طول آزمایش به صورت درصدی از سنجش اولیه در نظر گرفته شدند. بدین ترتیب امکان رسم نمودار درصد تغییرات پارامترهایی مانند وزن و ابعاد در طول زمان برای نمونه‌های مختلف میسر گردید. در نهایت نتایج حاصل از نمونه‌های یکسان، میانگین گیری شد و ملاک مقایسه حالت‌های مختلف قرار گرفت. نمودار شماره ۱ روند تغییرات وزن را در بر اساس داده‌های حاصل از این نمودار نرخ از دست رفتن وزن

فروپاشی تقسیم بر مساحت نمونه ثبت گردید و در نهایت مقاومت متوسط نمونه‌های همسان گزارش گردیده است. تصویر شماره ۱ روند تغییرات ظاهر نمونه‌های کوچک آهکی و سیلیسی را در دوره‌های مختلف اندازه‌گیری نشان می‌دهد. در طول دوره آزمایش شرایط ظاهری نمونه‌ها و محلول خورنده به صورت مرتب ثبت و بررسی می‌گردید. نتایج حاصل از این برداشت‌ها به همراه سایر مشخصات اندازه‌گیری شده مبنای تفسیر نتایج واقع شدند. همچنین در طول آزمایش برای ثابت نگاه داشتن میزان خوردگی محیط محلول خورنده تعویض می‌شد. به طور متوسط عملیات تجدید محلول خورنده هر ۱۴ روز یک بار صورت می‌پذیرفت. در هر بار تعویض محلول اسیدی pH قدیمی و جدید ثبت می‌گردید.



تصویر ۱- نمونه‌های سیلیسی (ردیف پایین) و آهکی (ردیف بالا) در روز ۸۲ آزمایش



نمودار ۱- تغییرات وزن نمونه‌های آهکی و سیلیسی مستغرق در اسید و در آب

بودند، ولی در مورد ظروف نمونه‌های سیلیسی مواد تهنشین شده عمدتاً سنگدانه‌های ریز و درشت بودند که در اثر خوردگی شدن چسب سیمان دورشان، از جسم بتن جدا شده بودند.

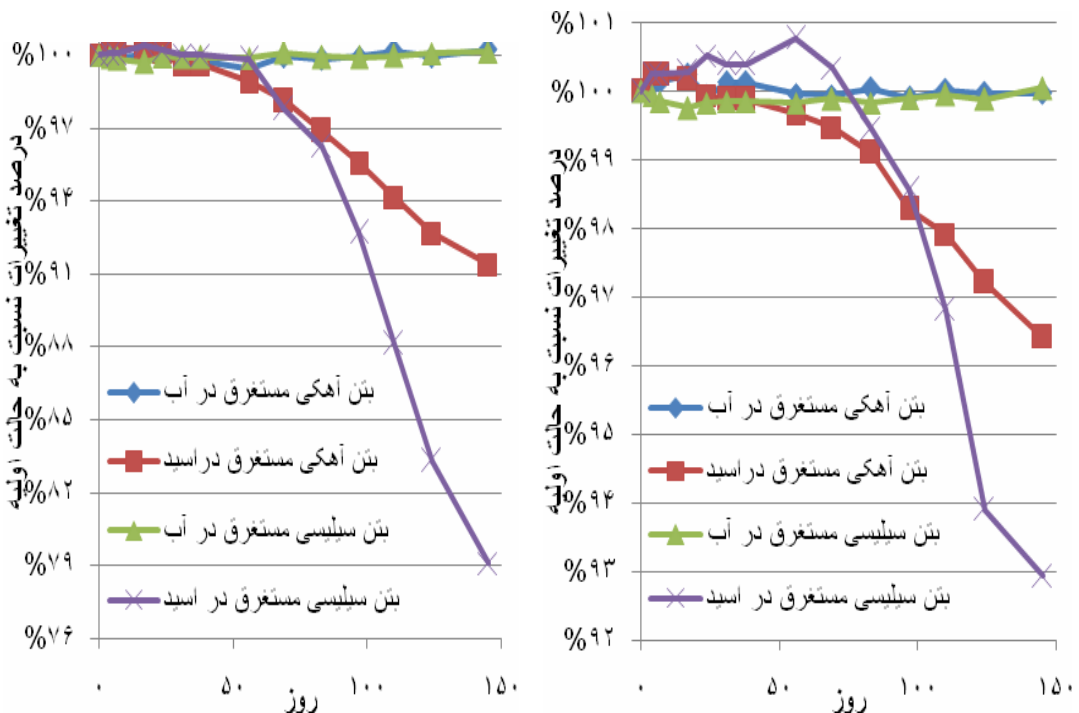
در نمونه‌های شماره ۲، درصد تغییرات قطر و ارتفاع نمونه‌های استوانه‌ای نمایش داده شدند. روند کلی تغییرات مشاهده شده با تغییرات وزن نمونه‌ها مطابقت دارد.

در مورد قطر می‌توان گفت که مکعب آن با حجم و وزن نمونه رابطه مستقیم دارد، لذا تا حدودی اختلاف در شدت و ضعف رفتار نمونه‌دار تغییرات قطر و تغییرات وزن در طول زمان به چشم می‌خورد. با توجه به هفته‌های اول نمونه‌های تغییرات ابعاد، مشاهده می‌شود که در این دوره افزایش چند درصدی ابعاد نسبت به ابعاد اولیه وجود دارد. علت این امر همانطور که گفته شد، تشکیل مواد حجمی حاصل از خوردگی و تورم نمونه می‌باشد، اما با گذشت زمان و تکرار اندازه گیری‌ها و به تبع آن شستشو نمونه‌ها، این مواد سست متورم از سطح نمونه شسته شده و ابعاد نمونه رو به کوچک شدن می‌گذارد. درواقع این افزایش ابعاد، به دلیل کم مقاومت و کم چگالی بودن بخش افزوده شده به ابعاد نمونه، در نمونه‌دار تغییرات وزن و یا مقاومت فشاری تأثیر نمی‌گذارد.

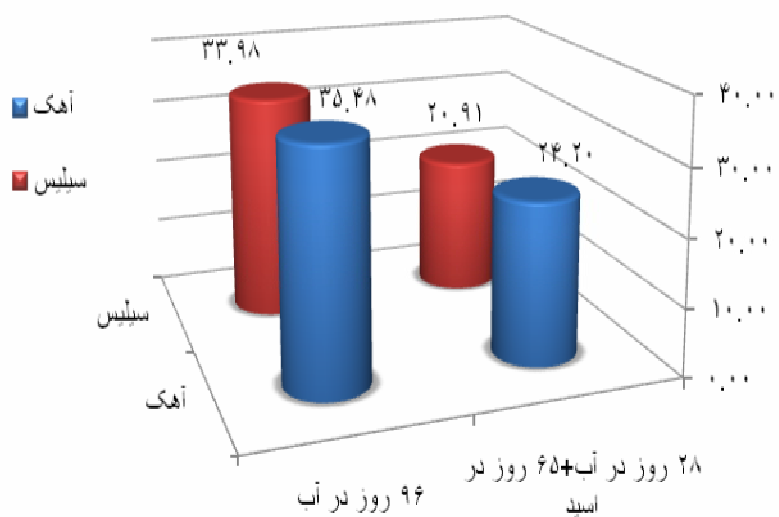
نمونه شماره ۳ مقاومت فشاری نمونه‌های سیلیسی و آهکی مستغرق در آب و محلول اسیدی را بر حسب مکاپاسکال نشان می‌دهد. براساس این داده‌ها، بر اثر تأثیرات خوردگی، مقاومت نمونه‌های سیلیسی ۴۲٪ و مقاومت نمونه‌های آهکی ۳۰٪ افت داشته است. این اعداد به وضوح نشان می‌دهد که تأثیر خوردگی بر کاهش مقاومت نمونه‌های سیلیسی ۱/۴ برابر نمونه‌های آهکی بوده است. یکی از علل اصلی کاهش مقاومت شدید نمونه‌های سیلیسی، ناهمگونی چسب سیمان و سنگدانه‌ها می‌باشد. با پیشرفت خوردگی و تشکیل مواد حاصل از آن ترک‌های مویینی بین سنگدانه و خمیر خوردگی شده سیمان به وجود می‌آید که هم محل نفوذ اسید بوده و هم باعث افت شدید مقاومت می‌گردد. در تمامی آزمایش‌های صورت گرفته تغییرات خصایص نمونه‌های نگهداری شده در آب نسبت به نمونه‌های اولیه پس از عمل آوری ناچیز و در حدود ۰/۱ درصد بوده است. لذا تمامی نتایج حاصله و تغییرات ثبت شده در مشخصات نمونه‌ها در طول آزمایش، تنها به دلیل پیشرفت روند خوردگی بوده است.

نمونه‌های سیلیسی در فواصل زمانی ما بين هفته ۴ و ۵ و هفته‌های ۱۹ و ۲۰ به ترتیب برابر ۰/۱۸ و ۰/۶ درصد در روز بوده است. در صورتی که این مقدار برای نمونه آهکی ۰/۲۶ و ۰/۵۴ درصد در روز می‌باشد. ملاحظه می‌گردد که نرخ خوردگی در هفته‌های اول برای نمونه‌های آهکی و سیلیسی نزدیک هم بوده و حتی در این دوره خوردگی نمونه‌های آهکی اندکی شدیدتر از نمونه‌های سیلیسی و تقریباً ۱/۴ برابر آن بوده است. اما پس از پیشرفت خوردگی این نرخ در مورد نمونه‌های سیلیسی شدت یافته، به صورتی که نرخ خوردگی نمونه‌های سیلیسی تا ۲ برابر نمونه‌های آهکی افزایش یافته است. علت این امر بر اساس مشاهدات، تفاوت در پروسه خوردگی بتن آهکی و سیلیسی تفسیر شده است. در نمونه آهکی به علت قلایی بودن سنگدانه و خمیر سیمان، این هر دو، به صورت همزمان خورد شده و با اسید واکنش می‌دهند. لذا محیطی یکنواخت و کوچک در اطراف نمونه ایجاد می‌شود که اسید در آن محدوده، تقریباً با جسم بتن خنثی شده و خوردگی چندانی ایجاد نمی‌کند. علاوه بر آن مواد حاصل از خوردگی که عمدتاً مواد خمیری شکل سفید رنگ مشکل از گچ بوده است به صورت فیزیکی از نفوذ اسید به داخل بتن جلوگیری به عمل می‌آوردد.

در صورتی که در مورد نمونه‌های سیلیسی، سنگدانه بی اثر با اسید واکنش نداده و تنها بخش کم حجم خمیر سیمان وارد واکنش خوردگی می‌گردید. این امر باعث شد تا تشکیل محیطی خنثی در حول بتن و همچنین تشکیل فراورده‌های حجمی خمیری شکل در سطح بتن، به چشم نخورد. شاید در هفته‌های اول خوردگی سطح خوردگی خوردگی شدیدتری را نشان می‌داد، اما با پیشرفت فرآیند خوردگی و نفوذ اسید به خمیر سیمان دور سنگدانه‌های بتن سیلیسی، این سنگدانه‌ها با کمترین نیرویی از جای خود خارج شده و کاهش وزن شدیدی در نمونه ایجاد می‌نمودند. همچنین بدین صورت جبهه‌های جدیدی برای حمله اسید فراهم می‌آمد. ناهمگونی جنس خمیر سیمان و سنگدانه سیلیسی، نفوذ اسید در بین آنها را تسريع می‌کرد. در طول آزمایش مشاهده گردید که مواد حاصل از خوردگی که از سطح نمونه‌ها جدا می‌شدند و در محلول تهشین می‌شدند، در دونوع نمونه متفاوت بودند. در ظروف نگهداری نمونه‌های آهکی این مواد سفید رنگ، خمیری شکل و تقریباً بدون سنگدانه



نمودار ۲- نمودار تغییرات قطر (سمت راست) و ارتفاع (سمت چپ) نمونه‌های استوانه‌ای آهکی و سیلیسی مستغرق در اسید و در آب



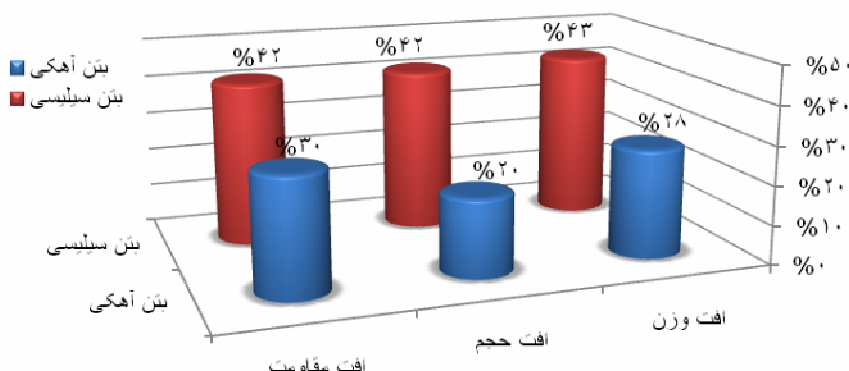
نمودار ۳- مقاومت فشاری نمونه‌های آهکی و سیلیسی بر حسب مگاپاسکال

۴- نتیجه‌گیری

فشاری به ترتیب ۵۴٪، ۱۱۰٪ و ۴۰٪ بالاتر از دوام بتن ساخته شده با سنگدانه‌های سیلیسی در همان شرایط است.

با توجه به فراوانی و ارزانی سنگ‌های آهکی در کشور ما، به نظر می‌رسد تغییر در نوع سنگدانه‌های مصرفی در کارخانه‌های ساخت لوله و تجهیزات شبکه آب و فاضلاب و همچنین بتن‌های موردن استفاده در مناطق با باران‌های اسیدی، دامداری‌ها و کشتارگاه‌ها، روشی اقتصادی و سهل برای بالا بردن دوام بتن می‌باشد. امید است با بهره‌گیری از نتایج این تحقیق و تحقیقات مشابه تصمیم‌گیری‌های نچندان مستدل، مبنی بر عدم استفاده از سنگدانه‌های آهکی برای بهبود شرایط بتن، تغییر و بازنگری شوند.

به صورت کلی می‌توان گفت، استفاده از سنگدانه‌های آهکی به جای سنگدانه‌های معمول و بی‌اثر سیلیسی در ساخت بتن‌های در تماس با محیط‌های خورنده اسیدی، دوام آنها را افزایش داده است. از علل این امر می‌توان ایجاد ریز محیطی خشی در نزدیکی سطح بتن آهکی و همچنین کاهش نفوذ محلول خورنده در عمق نمونه به دلیل تشکیل مواد خمیری در سطح بتن آهکی را نام برد. در نمودار شماره ۴ تغییرات متوسط شاخص‌های بررسی شده در این تحقیق، برای نمونه‌های سیلیسی و آهکی ارائه گردیده است. بر اساس داده‌های این نمودار مشخص گردیده. با توجه به داده‌های ارائه شده بر اساس داده‌های این نمودار می‌توان نتیجه‌گیری نمود، دوام بتن ساخته شده با سنگدانه آهکی نسبت به نتیجه‌گیری نمود، دوام بتن ساخته شده با سنگدانه سیلیسی را افزایش خورنده بر اساس شاخص‌های تغییر وزن، حجم و مقاومت



نمودار ۴- نمودار درصد کاهش وزن، حجم و مقاومت فشاری نمونه‌های بتن سیلیسی و آهکی در اثر خوردگی

*Cement and concrete Research , 34, 2223-2236.
2004.*

- [3]. Monteny J., De Belie N. and Taerwe L. "Resistance of different types of concrete mixtures to. *Materials and Structures* ", 36, 242-249, 2003.
- [4]. Verstraete Willy.. " International Biodeterioration & Bio degradation ", 49, 283-292. ASTM C 33. Standard Specification for Concrete Aggregates. Philadelphiapp. 1-11, 2002.
- [5].J. Monteny, N. De Belie, E. Vincke, W. Verstraete, L. Taerwe. "Chemical and microbiological tests to simulate sulfuric acid." *Cement and Concrete Research* , 31, 1359-1365. 2001.
- [6].ASTM C 267. "Chemical resistance of mortars, grouts, and monolithic surfacings and polymer

۵- پانوشت

- Ettringite ($3\text{CaO}.\text{Al}_2\text{O}_3.3\text{CaSO}_4.32\text{H}_2\text{O}$) .۱
- Silica fume .۲
- Fly ash .۳

۶- مراجع

- [1]. Chang Zhen-Tian, Song Xiu-Jiang, Munn Robert, Marosszky Marton. "Using limestone aggregates and different cements for enhancing resistance." *Cement and Concrete Research* , 35, 1489-1494. 2005.
- [2]. De Belie N., Monteny J., Beeldens A, Vincke E., Van Gemert D., Verstraete W. "Experimental research and prediction of the effect of chemical."

- [10].Brown J. V., Maisel J. W., Eds Tchobanog - lous, G. *Wastewater Engineering: "Collection and Pumping of Wastewater"*. New York., United States of America: Metcalf & Eddy, 1981.
- [۱۰] اشتهرادیها، ح. «کنترل خوردگی فاضلاب رو های بنی در حال بهره برداری». هشتمین کنگره ملی خوردگی تهران: انجمن ملی خوردگی، ص. ۱۳۸۲، ۳-۵.
- [6].Concretes", Annual Book of American Society for Testing Materials. Philadelphiapp. 1-6. 2001.
- [7].Tex-612-J. "Acid Insoluble Residue for Fine Aggregate.Texaspp". 1-7,(2000).
- [8]. Monteny J., Vincke E., Beeldens A., De Belie N., Taerwe L., Van Gemert D., Verstraete W. "Chemical, microbiological, and in situ test methods for biogenic sulfuric". *Cement and Concrete Research* , 30, 623-634, 2000.
- [9]. Kazuyuk T., Mitsunor K., "Effects of fly ash and silica fume on the". *Cement and Concrete Research* , 24, 361-370, 1994.